

[*薬学雑誌*  
87 (1) 14 ~ 21 (1967)]

UDC 547.787.01.07

4. 田中千秋, 錦英美: オキサゾールカルボン酸誘導体の合成 (第8報<sup>\*1</sup>)  
アミノオキサゾール類の還元的開裂について その2

Chiaki Tanaka and Hidemi Nishiki: Syntheses of Oxazolecarboxylic Acid Derivatives. VIII.\*<sup>1</sup> Hydrogenolysis of Aminoxazoles. (2).

(Osaka College of Pharmacy<sup>\*2</sup>)

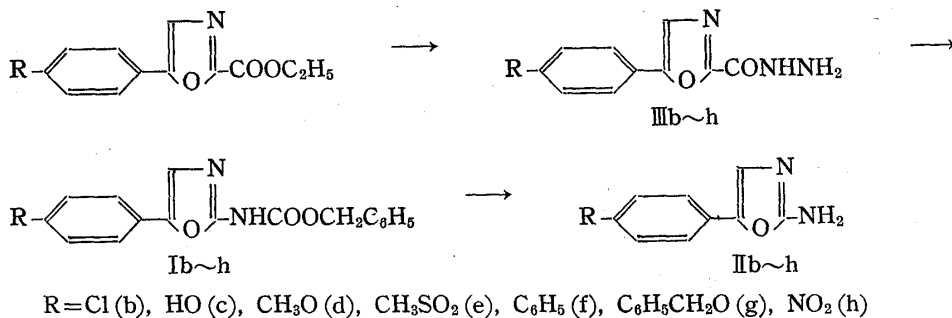
In order to examine the effect of a substituent on ring fission, benzyl 5-(*p*-R-phenyl)-2-oxazolecarbamate (I) and 2-amino-5-(*p*-R-phenyl)oxazole (II) were synthesized, where R was Cl, OH, CH<sub>3</sub>O, CH<sub>3</sub>SO<sub>2</sub>, C<sub>6</sub>H<sub>5</sub>, C<sub>6</sub>H<sub>5</sub>CH<sub>2</sub>O, NO<sub>2</sub>, or NH<sub>2</sub>. These compounds were submitted to catalytic reduction using palladium-carbon, palladium-barium sulfate, or platinum oxide catalyst. Selectivity of the catalyst and effect of the solvent were approximately the same as those in the case of R=H, as reported in the preceding paper.\*<sup>1</sup> The substituents present in these compounds were found not to give any marked effect on the ease or difficulty of ring fission.

(Received January 17, 1966)

前報<sup>1)</sup>で benzyl 5-(*p*-R-phenyl)-2-oxazolecarbamate 類 (I) (R は置換基を示す) および 2-amino-5-(*p*-R-phenyl)oxazole 類 (II) の R=H (Ia および IIa) についてエタノールまたは酢酸中パラジウム炭, パラジウム・硫酸バリウムおよび酸化白金触媒による接触還元を行ない, 還元的開裂における溶媒の影響, 触媒の選択性などについて 2, 3 の点を明らかにした。ひき続いてフェニール基の *p* 位に種々の置換基を導入して, 還元的開裂における置換基の影響を調べる目的で R=Cl(b), HO(c), CH<sub>3</sub>O(d), CH<sub>3</sub>SO<sub>2</sub>(e), C<sub>6</sub>H<sub>5</sub>(f), C<sub>6</sub>H<sub>5</sub>CH<sub>2</sub>O(g), NO<sub>2</sub>(h), NH<sub>2</sub>(i) の I および II を合成し, 前報同様接触還元を行ない, 若干の知見を得たので報告する。

I および II の合成は第4報<sup>1)</sup>と同様に Chart 1 にしたがい, 第5報<sup>2)</sup>で得た ethyl 5-(*p*-R-phenyl)-2-oxazolecarboxylate 類を hydrazide 類 (IIIb~h) とし, つづいて Ib~h を得た。Ii は Ih のラネー・ニッケル触媒による接触還元によって得た。Ib~h を塩酸加水分解して IIb~h を得た。なお Ig の加水分解で, 5N 塩酸では Ic 18%, IIc 23% および IIg 31% を得たが, 2N 塩酸では IIc 18%, IIg 45% および Ic 痕跡を得た。Ih は 2-acetamido-5-phenyloxazole<sup>3)</sup> をニトロ化し, ついで加水分解しても得られた。Iii は Ih を塩化第一錫で還元した場合, 21% の低収率であったので, ラネー・ニッケル触媒による接触還元によって得た。以上の III, I, II およびそれらの誘導体についての詳細は Table I, II, III に示す。

Chart 1.



R=Cl (b), HO (c), CH<sub>3</sub>O (d), CH<sub>3</sub>SO<sub>2</sub> (e), C<sub>6</sub>H<sub>5</sub> (f), C<sub>6</sub>H<sub>5</sub>CH<sub>2</sub>O (g), NO<sub>2</sub> (h)

\*<sup>1</sup> 第7報: 本誌, 87, 10 (1967).

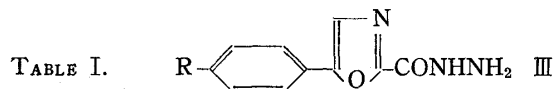
\*<sup>2</sup> Takaminosato, Matsubara, Osaka-fu.

1) 田中, 斎藤: 本誌, 82, 140 (1962).

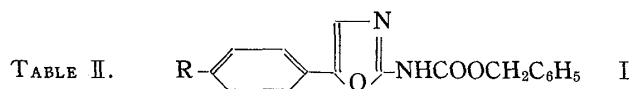
2) 田中: 本誌, 85, 186 (1965).

3) E. Fromm, R. Kapeller-Alder: Ann., 467, 262 (1928).

まずエタノール中パラジウム炭触媒による I および II の接触還元を行なった。触媒としては前報<sup>\*1</sup>でよく水洗して塩酸を除いたパラジウム炭は活性がややおとることを知ったので、塩化パラジウム炭をエタノール中で水素還元したものをそのまま使用した。それらの条件および結果は Table IV に示す。Ic~f, IIi, IIc~f および IIIi はいずれも対応する *p*-R-phenetylurea (IV) を得た (Exp. 2~5, 8, 10~13, 16) が、Ib, Ig, Ih, IIb, IIg および IIIh

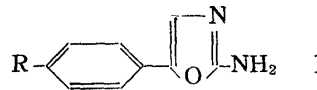


| Compd. | R                                               | m.p.<br>(°C)         | Yield<br>(%) | Recryst.<br>solvent   | Appearance          | Formula                                                         | Analysis (%) |      |       |
|--------|-------------------------------------------------|----------------------|--------------|-----------------------|---------------------|-----------------------------------------------------------------|--------------|------|-------|
|        |                                                 |                      |              |                       |                     |                                                                 | Calcd.       |      |       |
|        |                                                 |                      |              |                       |                     |                                                                 | C            | H    | N     |
| IIIb   | Cl                                              | 185~186              | 97           | EtOH                  | colorless needles   | C <sub>10</sub> H <sub>8</sub> O <sub>2</sub> N <sub>2</sub> Cl | 50.55        | 3.39 | 17.69 |
| IIIc   | HO                                              | 261~262<br>(decomp.) | 96           | dioxane               | colorless leaflets  | C <sub>10</sub> H <sub>9</sub> O <sub>3</sub> N <sub>3</sub>    | 54.79        | 4.14 | 19.17 |
| IIId   | CH <sub>3</sub> O                               | 183~184              | 81           | EtOH                  | colorless needles   | C <sub>11</sub> H <sub>11</sub> O <sub>3</sub> N <sub>3</sub>   | 56.65        | 4.75 | 18.02 |
| IIIf   | CH <sub>3</sub> SO <sub>2</sub>                 | 233~235              | 70           | AcOH-H <sub>2</sub> O | colorless prisms    | C <sub>11</sub> H <sub>11</sub> O <sub>4</sub> N <sub>3</sub> S | 46.96        | 3.95 | 14.94 |
| IIIf   | C <sub>6</sub> H <sub>5</sub>                   | 229~231              | 96           | AcOH                  | colorless leaflets  | C <sub>16</sub> H <sub>13</sub> O <sub>2</sub> N <sub>3</sub>   | 68.80        | 4.69 | 15.05 |
| IIIf   | C <sub>6</sub> H <sub>5</sub> CH <sub>2</sub> O | 188~189              | 73           | EtOH                  | colorless prisms    | C <sub>17</sub> H <sub>15</sub> O <sub>3</sub> N <sub>3</sub>   | 66.01        | 4.89 | 13.59 |
| IIIh   | NO <sub>2</sub>                                 | 236~237              | 99           | EtOH                  | pale yellow needles | C <sub>10</sub> H <sub>8</sub> O <sub>4</sub> N <sub>4</sub>    | 48.39        | 3.25 | 22.58 |
|        |                                                 |                      |              |                       |                     |                                                                 | 48.53        | 3.32 | 22.60 |



| Compd. | R                                               | m.p.<br>(°C)         | Yield<br>(%) | Recryst.<br>solvent      | Appearance         | Formula                                                                                                                        | Analysis (%) |      |       |
|--------|-------------------------------------------------|----------------------|--------------|--------------------------|--------------------|--------------------------------------------------------------------------------------------------------------------------------|--------------|------|-------|
|        |                                                 |                      |              |                          |                    |                                                                                                                                | Calcd.       |      |       |
|        |                                                 |                      |              |                          |                    |                                                                                                                                | C            | H    | N     |
| Ib     | Cl                                              | 186~188              | 54           | benzene                  | colorless leaflets | C <sub>17</sub> H <sub>13</sub> O <sub>3</sub> N <sub>2</sub> Cl                                                               | 62.10        | 3.99 | 8.53  |
| Ic     | HO                                              | 236~238<br>(decomp.) | 48           | dioxane                  | colorless leaflets | C <sub>17</sub> H <sub>14</sub> O <sub>4</sub> N <sub>2</sub>                                                                  | 65.80        | 4.55 | 9.03  |
| I d    | CH <sub>3</sub> O                               | 165~167              | 52           | benzene                  | colorless leaflets | C <sub>18</sub> H <sub>16</sub> O <sub>4</sub> N <sub>2</sub>                                                                  | 66.66        | 4.97 | 8.64  |
| I e    | CH <sub>3</sub> SO <sub>2</sub>                 | 209~211              | 71           | dioxane                  | colorless prisms   | C <sub>18</sub> H <sub>16</sub> O <sub>5</sub> N <sub>2</sub> S                                                                | 58.05        | 4.29 | 7.52  |
| I f    | C <sub>6</sub> H <sub>5</sub>                   | 197~199              | 53           | dioxane                  | colorless prisms   | C <sub>23</sub> H <sub>18</sub> O <sub>3</sub> N <sub>2</sub>                                                                  | 74.58        | 4.90 | 7.56  |
| I g    | C <sub>6</sub> H <sub>5</sub> CH <sub>2</sub> O | 167~168              | 54           | benzene                  | colorless leaflets | C <sub>24</sub> H <sub>20</sub> O <sub>4</sub> N <sub>2</sub>                                                                  | 71.98        | 5.03 | 7.00  |
| I h    | NO <sub>2</sub>                                 | 226~227              | 62           | dioxane-H <sub>2</sub> O | pale yellow prisms | C <sub>17</sub> H <sub>13</sub> O <sub>5</sub> N <sub>3</sub>                                                                  | 60.17        | 3.86 | 12.39 |
| I i    | NH <sub>2</sub> <sup>a)</sup>                   | 159~161              | 92           | benzene                  | colorless prisms   | C <sub>17</sub> H <sub>15</sub> O <sub>3</sub> N <sub>3</sub>                                                                  | 66.01        | 4.89 | 13.59 |
|        | picrate                                         | 118~120<br>(decomp.) |              | dioxane                  | yellow powders     | C <sub>17</sub> H <sub>15</sub> O <sub>3</sub> N <sub>3</sub> •<br>C <sub>6</sub> H <sub>3</sub> O <sub>7</sub> N <sub>3</sub> | 51.30        | 3.37 | 15.61 |
|        | N-acetyl                                        | 207~209              |              | EtOH-H <sub>2</sub> O    | colorless prisms   | C <sub>19</sub> H <sub>17</sub> O <sub>4</sub> N <sub>3</sub> •<br>1/2H <sub>2</sub> O                                         | 63.32        | 5.03 | 11.66 |
|        |                                                 |                      |              |                          |                    |                                                                                                                                | 63.09        | 5.16 | 11.84 |

<sup>a)</sup> prepared by catalytic hydrogenation of Ih over Raney-nickel

TABLE III.  II

| Compd. | R                                               | m.p. (°C)<br>(decomp.) | Yield<br>(%)     | Recryst.<br>solvent      | Appearance                | Formula                                                                                                     | Analysis (%) |      |       |       |      |       |
|--------|-------------------------------------------------|------------------------|------------------|--------------------------|---------------------------|-------------------------------------------------------------------------------------------------------------|--------------|------|-------|-------|------|-------|
|        |                                                 |                        |                  |                          |                           |                                                                                                             | Calcd.       |      |       | Found |      |       |
|        |                                                 |                        |                  |                          |                           |                                                                                                             | C            | H    | N     | C     | H    | N     |
| II b   | Cl                                              | 220~222                | 68               | EtOH                     | colorless leaflets        | C <sub>9</sub> H <sub>7</sub> ON <sub>2</sub> Cl                                                            | 55.55        | 3.63 | 14.40 | 55.52 | 3.71 | 14.35 |
| II c   | HO                                              | 220~221                | 70               | dioxane-H <sub>2</sub> O | colorless leaflets        | C <sub>9</sub> H <sub>8</sub> O <sub>2</sub> N <sub>2</sub>                                                 | 61.36        | 4.58 | 15.90 | 61.56 | 4.73 | 15.69 |
| II d   | CH <sub>3</sub> O                               | 227~229                | 70               | EtOH                     | colorless leaflets        | C <sub>10</sub> H <sub>10</sub> O <sub>2</sub> N <sub>2</sub>                                               | 63.15        | 5.30 | 14.73 | 63.30 | 5.40 | 14.91 |
| II e   | CH <sub>3</sub> SO <sub>2</sub>                 | 240~242                | 74               | EtOH                     | colorless needles         | C <sub>10</sub> H <sub>10</sub> O <sub>3</sub> N <sub>2</sub> S                                             | 50.40        | 4.24 | 11.75 | 50.46 | 4.27 | 11.89 |
| II f   | C <sub>6</sub> H <sub>5</sub>                   | 276~278                | 72               | dioxane                  | colorless leaflets        | C <sub>15</sub> H <sub>12</sub> ON <sub>2</sub>                                                             | 76.25        | 5.12 | 11.86 | 75.95 | 5.27 | 11.93 |
| II g   | C <sub>6</sub> H <sub>5</sub> CH <sub>2</sub> O | 244~246                | 31 <sup>b)</sup> | dioxane                  | colorless leaflets        | C <sub>16</sub> H <sub>14</sub> O <sub>2</sub> N <sub>2</sub>                                               | 72.16        | 5.30 | 10.52 | 72.06 | 5.36 | 10.44 |
| II h   | NO <sub>2</sub>                                 | 221~222                | 76               | EtOH                     | orange needles            | C <sub>9</sub> H <sub>7</sub> O <sub>3</sub> N <sub>3</sub>                                                 | 52.68        | 3.44 | 20.48 | 52.79 | 3.49 | 20.48 |
|        | N-acetyl                                        | 266~268                |                  | dioxane                  | yellow leaflets           | C <sub>11</sub> H <sub>9</sub> O <sub>4</sub> N <sub>3</sub>                                                | 53.44        | 3.67 | 17.00 | 53.65 | 3.75 | 17.16 |
| II i   | NH <sub>2</sub> <sup>a)</sup>                   | 192~194                | 81               | EtOH-H <sub>2</sub> O    | pale brown leaflets       | C <sub>9</sub> H <sub>9</sub> ON <sub>3</sub>                                                               | 61.70        | 5.18 | 23.99 | 61.50 | 5.30 | 23.69 |
|        | mono-picrate                                    | 208~209                |                  | c)                       | reddish violet leaflets   | C <sub>9</sub> H <sub>9</sub> ON <sub>3</sub> ·C <sub>6</sub> H <sub>3</sub> O <sub>7</sub> N <sub>3</sub>  | 44.56        | 2.99 | 20.79 | 44.32 | 2.90 | 20.46 |
|        | dipicrate                                       | 198~199                |                  | c)                       | yellowish orange leaflets | C <sub>9</sub> H <sub>9</sub> ON <sub>3</sub> ·2C <sub>6</sub> H <sub>3</sub> O <sub>7</sub> N <sub>3</sub> | 39.82        | 2.38 | 19.91 | 39.91 | 2.43 | 19.62 |
|        | N,N'-diacetyl                                   | 282~283                |                  | AcOH-H <sub>2</sub> O    | pale yellow leaflets      | C <sub>13</sub> H <sub>15</sub> O <sub>3</sub> N <sub>3</sub>                                               | 60.22        | 5.05 | 16.21 | 59.98 | 4.98 | 16.17 |

a) prepared by catalytic hydrogenation of IIh over Raney nickel

b) by-products were Ic and IIc

c) analysed without recrystallization

はそれぞれ置換基が還元された IVa, IVc および IVi を得た (Exp. 1, 6, 7, 9, 14, 15). また *p*-chlorophenetylamine<sup>4)</sup> から得た IVb を同様に還元して IVa を得た (Exp. 17). IV のうち IVa,<sup>5)</sup> IVd<sup>6)</sup> は文献記載の方法で得たものと, IVc は結晶化困難のため IVg として文献記載の方法<sup>7)</sup>で得た IVc から得たものと IVi は *p*-nitrophenetylamine<sup>8)</sup> から IVh とし, ついでラネー・ニッケル触媒による接触還元で得たものと, それぞれ混融, IR スペクトルの比較により同定した. IVe および IVf は文献未記載で, 元素分析, IR スペクトルにより確認した. IV についての詳細は Table V に示す.

つぎにエタノール中パラジウム・硫酸バリウム触媒による I の接触還元を行なった. それらの条件および結果は Table VI に示す. Ib~d および IIi は対応する II を好収率で得た (Exp. 18~20, 25) が, Ie および If は対応する II とともに相当量の原料を回収した (Exp. 21, 22). これは原料および生成物がエタノールに難溶なためであると考えられる. また Ig は IIg とともに IIc を (Exp. 23), Ih は IIi を得た (Exp. 24). これはベンジルオキシ基の脱ベンジル化およびニトロ基の還元が容易に進行することを示す.

つぎにエタノールまたは酢酸中酸化白金触媒による I および II の接触還元を行なった. それらの条件および結果は Table VII, VIII に示す. エタノール中 I および II, 酢酸中 II の接触還元では Ib および IIb を例外としてパラ

4) A. McCoubrey, D. W. Mathieson: J. Chem. Soc., 1949, 696.

5) S. L. Shapiro, V. A. Parrino, L. Freedmann: J. Am. Chem. Soc., 81, 2224 (1959).

6) G. I. Braz: Doklady Akad. Nauk S.S.R., 87, 589 (1952) (C.A., 48, 113 (1954)).

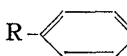
7) M. Cloetta, F. Wünsche: Arch. exptl. Pathol. Pharmakol., 96, 321 (1923) (Chem. Zentr., 1923, III, 88).

8) F. R. Goss, W. Hanhart, C. K. Ingold: J. Chem. Soc., 1927, 250.

TABLE IV. Hydrogenolysis over Palladium-Carbon in Ethanol

| Exp. No. | Compd. | mg. | 10% Pd-C (mg.) | EtOH (ml.) | H <sub>2</sub> absorbed (ml.) | Time (min.) | Product | mg. | (%)  |
|----------|--------|-----|----------------|------------|-------------------------------|-------------|---------|-----|------|
| 1        | I b    | 100 | 50             | 20         | a)                            | 30          | N a     | 45  | (90) |
| 2        | I c    | 100 | 50             | 20         |                               | 100         | N c     | 45  | (77) |
| 3        | I d    | 100 | 50             | 20         |                               | 15          | N d     | 50  | (84) |
| 4        | I e    | 100 | 50             | 20         |                               | 50          | N e     | 50  | (78) |
| 5        | I f    | 100 | 50             | 20         |                               | 40          | N f     | 53  | (84) |
| 6        | I g    | 100 | 50             | 20         |                               | 80          | N c     | 34  | (75) |
| 7        | I h    | 100 | 50             | 20         |                               | 80          | N i     | 35  | (67) |
| 8        | I i    | 100 | 50             | 20         |                               | 40          | N i     | 40  | (69) |
| 9        | II b   | 75  | 40             | 20         | 27                            | 50          | N a     | 55  | (87) |
| 10       | II c   | 50  | 25             | 20         | 14                            | 50          | N c     | 41  | (80) |
| 11       | II d   | 50  | 25             | 20         | 14                            | 20          | N d     | 43  | (85) |
| 12       | II e   | 50  | 25             | 20         | 10                            | 65          | N e     | 35  | (61) |
| 13       | II f   | 50  | 25             | 20         | 10                            | 30          | N f     | 37  | (75) |
| 14       | II g   | 50  | 25             | 20         | 14                            | 60          | N c     | 25  | (74) |
| 15       | II h   | 50  | 25             | 20         | 20                            | 60          | N i     | 31  | (71) |
| 16       | II i   | 50  | 25             | 20         | 16                            | 70          | N i     | 37  | (73) |
| 17       | N b    | 60  | 30             | 20         | 8                             | 40          | N a     | 42  | (85) |

a) the accurate determination of the volume of the absorbed hydrogen was impossible by the evolution of carbon dioxide

TABLE V. R--CH<sub>2</sub>CH<sub>2</sub>NHCONH<sub>2</sub> IV

| Compd. | R                                               | m.p.<br>(°C)       | Recryst.<br>solvent                | Appearance                          | Formula                                                                                                       | Analysis (%)   |              |                | IR cm <sup>-1</sup><br>(Nujol)<br>(amide) |              |                |              |      |
|--------|-------------------------------------------------|--------------------|------------------------------------|-------------------------------------|---------------------------------------------------------------------------------------------------------------|----------------|--------------|----------------|-------------------------------------------|--------------|----------------|--------------|------|
|        |                                                 |                    |                                    |                                     |                                                                                                               | Calcd.         |              |                |                                           |              |                |              |      |
| C      | H                                               | N                  | C                                  | H                                   | N                                                                                                             |                |              |                |                                           |              |                |              |      |
| N b    | Cl                                              | 111~112            | EtOH-H <sub>2</sub> O              | colorless needles                   | C <sub>9</sub> H <sub>11</sub> ON <sub>2</sub> Cl                                                             | 54.40          | 5.58         | 14.11          | 54.67                                     | 5.63         | 14.05          | 1640<br>1530 | 1600 |
| N c    | HO diacetyl                                     | 149~151            | EtOH-H <sub>2</sub> O              | colorless leaflets                  | C <sub>13</sub> H <sub>16</sub> O <sub>4</sub> N <sub>2</sub>                                                 | 59.08          | 6.10         | 10.60          | 59.06                                     | 6.07         | 10.65          | 1660<br>1565 | 1615 |
| N d    | CH <sub>3</sub> O                               |                    |                                    |                                     |                                                                                                               |                |              |                |                                           |              |                | 1655<br>1565 | 1600 |
| N e    | CH <sub>3</sub> SO <sub>2</sub>                 | 170~172            | EtOH-Me <sub>2</sub> CO            | colorless leaflets                  | C <sub>10</sub> H <sub>10</sub> O <sub>3</sub> N <sub>2</sub> S                                               | 49.57          | 5.83         | 11.76          | 49.65                                     | 5.68         | 11.89          | 1625<br>1570 | 1580 |
| N f    | C <sub>6</sub> H <sub>5</sub>                   | 208~210            | dioxane                            | colorless leaflets                  | C <sub>15</sub> H <sub>16</sub> ON <sub>2</sub>                                                               | 74.97          | 6.71         | 11.66          | 74.90                                     | 6.61         | 11.54          | 1625<br>1560 | 1575 |
| N g    | C <sub>6</sub> H <sub>5</sub> CH <sub>2</sub> O | 136~138            | benzene                            | colorless leaflets                  | C <sub>16</sub> H <sub>18</sub> O <sub>2</sub> N <sub>2</sub>                                                 | 71.09          | 6.71         | 10.36          | 71.03                                     | 6.72         | 10.41          | 1660<br>1530 | 1615 |
| N h    | NO <sub>2</sub>                                 | 218~220            | EtOH                               | pale yellow needles                 | C <sub>9</sub> H <sub>11</sub> O <sub>3</sub> N <sub>3</sub>                                                  | 51.67          | 5.30         | 20.09          | 51.62                                     | 5.25         | 19.91          | 1635<br>1545 | 1555 |
| N i    | NH <sub>2</sub> picrate                         | 117~119<br>200~202 | Me <sub>2</sub> CO-benzene<br>EtOH | colorless needles<br>yellow needles | C <sub>9</sub> H <sub>13</sub> ON <sub>3</sub><br>C <sub>6</sub> H <sub>3</sub> O <sub>7</sub> N <sub>3</sub> | 60.31<br>44.12 | 7.31<br>3.95 | 23.45<br>20.58 | 60.29<br>44.29                            | 7.43<br>3.92 | 23.29<br>20.57 | 1650<br>1565 | 1590 |
|        | N-acetyl                                        | 196~198            | EtOH-H <sub>2</sub> O              | colorless leaflets                  | C <sub>11</sub> H <sub>15</sub> O <sub>2</sub> N <sub>3</sub>                                                 | 59.71          | 6.83         | 18.99          | 59.55                                     | 6.76         | 18.76          |              |      |

TABLE VI. Hydrogenolysis over Palladium-Barium Sulfate in Ethanol

| Exp. No. | Compd. | mg. | 10% Pd-BaSO <sub>4</sub> (mg.) | EtOH (ml.) | H <sub>2</sub> absorbed (ml.) | Time (min.) | Products | mg. (%)                         |
|----------|--------|-----|--------------------------------|------------|-------------------------------|-------------|----------|---------------------------------|
| 18       | Ib     | 100 | 50                             | 20         | a)                            | 60          | IIb      | 50 (84)                         |
| 19       | Ic     | 100 | 50                             | 20         |                               | 40          | IIc      | 44 (78), IVc trace <sup>b</sup> |
| 20       | Id     | 100 | 50                             | 20         |                               | 60          | IId      | 50 (85)                         |
| 21       | Ie     | 100 | 50                             | 20         |                               | 80          | IIe      | 30 (47), Ie 40 (40)             |
| 22       | If     | 100 | 50                             | 20         |                               | 100         | IIf      | 35 (55), If 30 (30)             |
| 23       | Ig     | 100 | 50                             | 20         |                               | 70          | IIg      | 34 (51), IIc 13 (30), IVc trace |
| 24       | Ih     | 100 | 50                             | 20         |                               | 60          | IIi      | 32 (62), Vi trace               |
| 25       | Ii     | 100 | 50                             | 20         |                               | 40          | IIi      | 43 (75), Vi trace               |

a) the accurate determination of the volume of the absorbed hydrogen was impossible by the evolution of carbon dioxide

b) identified by thin-layer chromatography

TABLE VII. Hydrogenolysis over Platinum Oxide in Ethanol

| Exp. No. | Compd. | mg. | PtO <sub>2</sub> (mg.) | EtOH (ml.) | H <sub>2</sub> absorbed (ml.) | Time (min.) | Products | mg. (%)                        |
|----------|--------|-----|------------------------|------------|-------------------------------|-------------|----------|--------------------------------|
| 26       | Ib     | 100 | 20                     | 20         | a)                            | 80          | Va       | 40 (80)                        |
| 27       | Ic     | 100 | 20                     | 20         |                               | 80          | Vc       | 47 (81)                        |
| 28       | Id     | 100 | 20                     | 20         |                               | 50          | Vd       | 53 (88)                        |
| 29       | Ie     | 100 | 20                     | 20         |                               | 70          | Ve       | 42 (65), Ie 15 (15)            |
| 30       | If     | 100 | 20                     | 20         |                               | 60          | Vf       | 49 (75)                        |
| 31       | Ig     | 100 | 20                     | 20         |                               | 80          | Vc       | 37 (82), Vg trace <sup>b</sup> |
| 32       | Ih     | 100 | 20                     | 20         |                               | 70          | Vi       | 34 (65), IIi 15 (16)           |
| 33       | Ii     | 100 | 20                     | 20         |                               | 60          | Vi       | 32 (55), IIi 22 (22)           |
| 34       | IIb    | 100 | 20                     | 20         | 43                            | 50          | Va       | 68 (81)                        |
| 35       | IIc    | 100 | 20                     | 20         | 29                            | 60          | Vc       | 85 (83)                        |
| 36       | IId    | 100 | 20                     | 20         | 28                            | 40          | Vd       | 82 (80)                        |
| 37       | IIe    | 100 | 20                     | 20         | 23                            | 40          | Ve       | 76 (75)                        |
| 38       | IIf    | 100 | 20                     | 20         | 24                            | 40          | Vf       | 80 (78)                        |
| 39       | IIg    | 100 | 20                     | 20         | 32                            | 50          | Vc       | 54 (80), Vg trace              |
| 40       | IIh    | 100 | 20                     | 20         | 63                            | 40          | Vi       | 63 (72)                        |
| 41       | IIi    | 100 | 20                     | 20         | 33                            | 60          | Vi       | 71 (70), IIi trace             |

a) the accurate determination of the volume of the absorbed hydrogen was impossible by the evolution of carbon dioxide

b) identified by thin-layer chromatography

TABLE VIII. Hydrogenolysis over Platinum Oxide in Acetic Acid

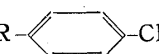
| Exp. No. | Compd. | mg. | PtO <sub>2</sub> (mg.) | AcOH (ml.) | H <sub>2</sub> absorbed (ml.) | Time (min.) | Products | mg. (%)                        |
|----------|--------|-----|------------------------|------------|-------------------------------|-------------|----------|--------------------------------|
| 42       | Ib     | 100 | 20                     | 20         | 18                            | 100         | Vb       | 90 (89)                        |
| 43       | Ic     | 100 | 20                     | 20         | 22                            | 40          | Vc       | 50 (50), Vc 15 (26)            |
| 44       | Id     | 100 | 20                     | 20         | 16                            | 25          | Vd       | 85 (84)                        |
| 45       | Ie     | 100 | 20                     | 20         | 16                            | 90          | Ve       | 85 (84)                        |
| 46       | If     | 100 | 20                     | 20         | 16                            | 50          | Vf       | 87 (86), Vf trace <sup>b</sup> |
| 47       | Ig     | 100 | 20                     | 20         | 12                            | 70          | Vg       | 55 (55), Vc 11 (24)            |
| 48       | Ih     | 100 | 20                     | 20         | a)                            | 120         | Vi       | 38 (72)                        |
| 49       | Ii     | 100 | 20                     | 20         |                               | 60          | Vi       | 33 (57), Ii 20 (20)            |

|    |      |     |    |    |    |    |     |         |
|----|------|-----|----|----|----|----|-----|---------|
| 50 | II b | 100 | 20 | 20 | 25 | 60 | N b | 76 (78) |
| 51 | II c | 100 | 20 | 20 | 28 | 50 | N c | 76 (78) |
| 52 | II d | 100 | 20 | 20 | 31 | 40 | N d | 86 (84) |
| 53 | II e | 100 | 20 | 20 | 23 | 70 | N e | 82 (80) |
| 54 | II f | 100 | 20 | 20 | 20 | 60 | N f | 77 (76) |
| 55 | II g | 100 | 20 | 20 | 44 | 50 | N c | 53 (79) |
| 56 | II h | 100 | 20 | 20 | 65 | 60 | N i | 60 (69) |
| 57 | II i | 100 | 20 | 20 | 32 | 50 | N i | 74 (73) |

a) the accurate determination of the volume of the absorbed hydrogen was impossible by the evolution of carbon dioxide

b) identified by thin-layer chromatography

ジウム炭触媒による場合とほぼ同じ結果を示し、それぞれ IVを得た(Exp. 27~33, 35~41, 51~57)。Ib および IIb はエタノール中で IVa を(Exp. 26, 34), IIb は酢酸中で IVb を得(Exp. 50), 塩素の還元は酢酸中よりエタノール中で容易に進行することを知った。酢酸中 I の接触還元で Ih および IIi は Ni を得た(Exp. 48, 49)が、その他は対応する 1-carbobenzyloxy-3-(*p*-R-phenethyl)urea(V)を主生成物として得た(Exp. 42~47)。Vは元素分析、IR スペクトルにより確認した。Vについての詳細は Table X に示す。

TABLE X. R--CH<sub>2</sub>CH<sub>2</sub>NHCONHCOOCH<sub>2</sub>C<sub>6</sub>H<sub>5</sub> V

| Compd. | R                                               | m.p.<br>(°C) | Recryst.<br>solvent      | Appearance         | Formula                                                          | Analysis (%)    |                 |                        | IR cm <sup>-1</sup><br>(Nujol)<br>(ester,<br>amide) |
|--------|-------------------------------------------------|--------------|--------------------------|--------------------|------------------------------------------------------------------|-----------------|-----------------|------------------------|-----------------------------------------------------|
|        |                                                 |              |                          |                    |                                                                  | Calcd.          |                 |                        |                                                     |
| C      | H                                               | N            | C                        | H                  | N                                                                |                 |                 |                        |                                                     |
| Vb     | Cl                                              | 163~165      | benzene                  | colorless needles  | C <sub>17</sub> H <sub>17</sub> O <sub>3</sub> N <sub>2</sub> Cl | 61.35 5.15 8.42 | 61.26 5.10 8.36 | 1720 1695<br>1645 1570 |                                                     |
| Vc     | HO                                              | 131~133      | benzene-benzin           | colorless prisms   | C <sub>17</sub> H <sub>18</sub> O <sub>4</sub> N <sub>2</sub>    | 64.95 5.77 8.91 | 64.88 5.85 8.98 | 1715 1685<br>1650 1540 |                                                     |
| Vd     | CH <sub>3</sub> O                               | 146~148      | benzene-benzin           | colorless leaflets | C <sub>18</sub> H <sub>20</sub> O <sub>4</sub> N <sub>2</sub>    | 65.84 6.14 8.53 | 65.89 5.94 8.72 | 1705 1685<br>1645 1560 |                                                     |
| Ve     | CH <sub>3</sub> SO <sub>2</sub>                 | 200~202      | dioxane-H <sub>2</sub> O | colorless leaflets | C <sub>18</sub> H <sub>20</sub> O <sub>5</sub> N <sub>2</sub> S  | 57.43 5.36 7.44 | 57.63 5.06 7.62 | 1730 1700<br>1635 1530 |                                                     |
| Vf     | C <sub>6</sub> H <sub>5</sub>                   | 144~146      | benzene-benzin           | colorless prisms   | C <sub>23</sub> H <sub>22</sub> O <sub>3</sub> N <sub>2</sub>    | 73.78 5.92 7.48 | 74.01 6.13 7.94 | 1725 1705<br>1645 1545 |                                                     |
| Vg     | C <sub>6</sub> H <sub>5</sub> CH <sub>2</sub> O | 140~142      | benzene-benzin           | colorless leaflets | C <sub>24</sub> H <sub>24</sub> O <sub>4</sub> N <sub>2</sub>    | 71.27 5.98 6.93 | 71.10 6.06 7.32 | 1720 1690<br>1650 1560 |                                                     |

TABLE X. Rf Values of Thin-layer Chromatogram

| R                                                   | I    | II   | IV   | V    |
|-----------------------------------------------------|------|------|------|------|
| Cl (b)                                              | 0.88 | 0.56 | 0.14 | 0.92 |
| HO (c)                                              | 0.74 | 0.41 | 0.10 | 0.79 |
| CH <sub>3</sub> O (d)                               | 0.80 | 0.52 | 0.19 | 0.85 |
| CH <sub>3</sub> SO <sub>2</sub> (e)                 | 0.60 | 0.26 | 0.03 | 0.88 |
| C <sub>6</sub> H <sub>5</sub> (f)                   | 0.87 | 0.50 | 0.12 | 0.91 |
| C <sub>6</sub> H <sub>5</sub> CH <sub>2</sub> O (g) | 0.92 | 0.58 | 0.15 | 0.95 |
| NO <sub>2</sub> (h)                                 | 0.79 | 0.47 | 0.12 | —    |
| NH <sub>2</sub> (i)                                 | 0.64 | 0.35 | 0.07 | 0.72 |

adsorbent: kieselgel G

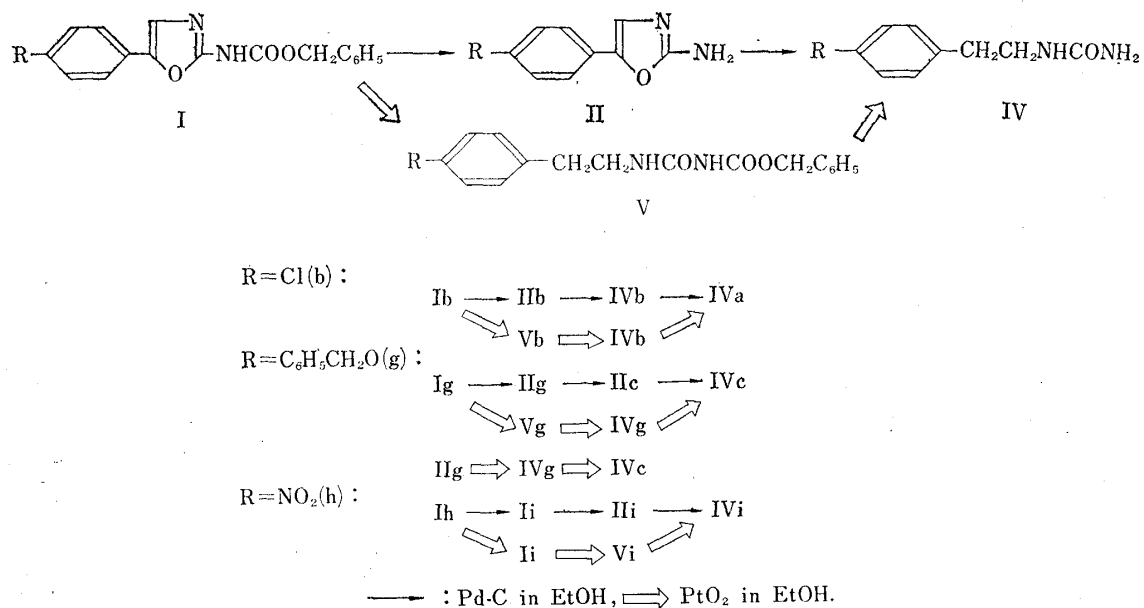
developing solvent: ethyl acetate-benzene-conc. NH<sub>4</sub>OH (80:20:1)

detection: iodine vapor

つぎに I および II のエタノール中パラジウムまたは酸化白金触媒による接触還元における還元経路を薄層クロマトにより追跡した。それらの結果は Chart 2 に示すように前報<sup>\*1</sup>の R=H の場合と同様、パラジウム触媒

Chart 2. The Process in Catalytic Reduction of I and II over Palladium-Carbon and Platinum Oxide Catalyst in Ethanol

R=H (a), HO (c), CH<sub>3</sub>O (d), CH<sub>3</sub>SO<sub>2</sub> (e), C<sub>6</sub>H<sub>5</sub> (f), NH<sub>2</sub> (i) :



の場合はまず脱カルボベンゾキシ化、ついで環開裂が起こり、一方酸化白金触媒の場合は環開裂、ついで脱カルボベンゾキシ化が進行し、両触媒間に環開裂の容易さに関して差異があることを知った。また両触媒いずれの場合も、塩素の還元は比較的困難であること、2種の脱ベンジル化が起こる場合ではまずN-カルボベンゾキシ基、ついでベンゾオキシフェニール基の順に進行することを知った。なお I, II, IV および V の Rf 値は Table X に示す。

以上の実験からアミノオキサゾール類の還元的開裂において5位のフェニール基の $\beta$ 位に導入した置換基は環開裂の難易に対して顕著な影響を与えないことが判明した。このことは著者等の導入した置換基はいずれも $\pi$ 電子、不対電子をもち、大きな立体障害をもたない基であるので、触媒によく吸着して還元開裂を受けるものと考えられる。

### 実 験 の 部

**5-(*p*-R-phenyl)-2-oxazolecarbohydrazide (IIIb~h)** ethyl 5-(*p*-R-phenyl)-2-oxazolecarboxylate 0.1 mole を 5~70 倍の EtOH に加熱溶解し、NH<sub>2</sub>NH<sub>2</sub>·H<sub>2</sub>O 0.12 mole を加え 30 min. 加熱還流、冷後析出した結晶を沪過、再結晶して得。詳細は Table I に示す。

**Benzyl 5-(*p*-R-phenyl)-2-oxazolecarbamate (Ib~h)** IIIb~h 0.05 mole を conc. HCl 6 ml., AcOH 50~300 ml., ベンゼン 100~200 ml. に溶解、あるいは懸濁して NaNO<sub>2</sub> 0.06 mole の濃厚水溶液を 0~5° で滴加、30 min. 攪拌後水を加えベンゼン抽出、ベンゼン層を CaCl<sub>2</sub> で乾燥後 benzyl alcohol 0.15 mole を加え、ベンゼン留去、残渣を水蒸気蒸留して過剰の benzyl alcohol を除去、残渣を再結晶して得。Ic, Ie は反応後水で希釈すると azide が結晶として析出、沪過して benzyl alcohol 0.15 mole, トルエン 200 ml. と 1 hr. 加熱還流、溶媒留去後同様に処理して得。詳細は Table II に示す。

**Benzyl 5-(*p*-aminophenyl)-2-oxazolecarbamate (Ii)** Ih 0.5 g., Raney-Ni 0.2 g., EtOH 30 ml. 中常圧接觸還元して得。H<sub>2</sub> 吸収量 110 ml., 時間 130 min.. 詳細は Table II に示す。

**2-Amino-5-(*p*-R-phenyl)oxazole (IIb~f, h)** Ib~f, h 2 g., 5N HCl 8 ml., AcOH 10 ml. を 1 hr. 加熱還流、溶媒を減圧留去、残渣を水に溶かし、NaHCO<sub>3</sub> アルカリ性として析出した結晶を再結晶して得。詳細は Table III に示す。

**Ig の塩酸加水分解** Ig 2 g., 5N HCl 8 ml., AcOH 10 ml. を水浴上 1 hr. 加熱、溶媒を減圧留去、残渣を熱水で浸出、水不溶物を多量の熱 EtOH で浸出、EtOH 難溶物をジオキサンから再結晶して Ic 0.28 g. (18%)を得。本品の融点、IR スペクトルは IIIc から得たもののそれらと一致した。EtOH 可溶物をジオキサンから再結晶して IIg 0.42 g. (31%)を得。本品の詳細は Table III に示す。水浸液を NaHCO<sub>3</sub> アルカリ性として得た結晶をジオキサン-水から再結晶して IIc 0.2 g. (23%)を得。本品の融点、IR スペクトルは Ic から得たものそ

れらと一致した。Ig 1.5 g., 2N HCl 6 ml., AcOH 7 ml. を水浴上 4 hr. 加熱、同様に処理して IIc 0.12 g. (18%), IIg 0.45 g. (45%), Ic 痕跡を得。

**2-Amino-5-(*p*-nitrophenyl)oxazole (IIh)** 2-acetamido-5-phenyloxazole<sup>3)</sup> 3.2 g. を conc. H<sub>2</sub>SO<sub>4</sub> 32 ml. に溶解し -5~0°で HNO<sub>3</sub> (*d* 1.52) 0.7 ml., conc. H<sub>2</sub>SO<sub>4</sub> 8 ml. の混液を徐々に滴加、15 min. 揆拌後、氷水に投じて得た結晶を再結晶して 2-acetamido-5-(*p*-nitrophenyl)oxazole 38.9 g. (73%)を得。本品の融点、IR スペクトルは Ih から得たもののそれらと一致した。ついで nitroamido 体 1 g., conc. HCl 10 ml., 水 5 ml., AcOH 5 ml. を 4 hr. 加熱還流、溶媒を減圧留去、残渣を水に溶かし NaHCO<sub>3</sub> アルカリ性として得た結晶を再結晶して IIh 0.61 g. (74%)を得。本品の融点、IR スペクトルは Ih から得たもののそれらと一致した。

**2-Amino-5-(*p*-aminophenyl)oxazole (IIi)** IIh 0.5 g. を conc. HCl 2.7 ml. に溶解し、SnCl<sub>2</sub>·2H<sub>2</sub>O 1.7 g. を conc. HCl 2 ml. に溶解した液を加え、水浴上 1 hr. 加熱、冷後 33% NaOH 10 ml. を加え析出物を再結晶して IIi 0.09 g. (21%)を得。IIh 0.6 g., Raney-Ni 0.3 g., EtOH 40 ml. 中常圧接触還元して IIi 0.41 g. (81%)を得。H<sub>2</sub> 吸収量 210 ml., 時間 120 min.. 詳細は Table III に示す。

**p-Chlorophenethylurea (IVb)** *p*-chlorophenethylamine<sup>4)</sup> 1.6 g. を水 10 ml. に溶解し、KCNO 末 0.9 g. を少量ずつ加える。1夜放置して析出した結晶を再結晶して得。収量 1.36 g. (85%). 詳細は Table V に示す。

**p-Benzoyloxyphenethylurea (IVg)** Nc 0.2 g., 塩化ベンジル 0.4 g., K<sub>2</sub>CO<sub>3</sub> 0.8 g., メチルエチルケトン 10 ml. を 9 hr. 加熱還流、冷後沪過、沪液から溶媒留去、残渣を再結晶して得。収量 0.16 g. (53%). 詳細は Table V に示す。

**p-Nitrophenethylurea (IVh)** *p*-nitrophenethylamine<sup>5)</sup> 0.9 g., 水 7 ml., KCNO 0.5 g. を Nb と同様に処理して得。収量 0.62 g. (67%). 詳細は Table V に示す。

**p-Aminophenethylurea (IVi)** Nh 0.5 g., Raney-Ni 0.3 g., EtOH 20 ml. で常圧接触還元して得。H<sub>2</sub> 吸収量 180 ml., 時間 25 min.. 収量 0.38 g. (89%). 詳細は Table V に示す。

**I および II の接触還元** 前報<sup>\*1</sup>と同様に行なった。それらの条件、結果および生成物についての詳細は Table IV~X に示す。

**還元経路の追跡** 前報<sup>\*1</sup>と同様に行なった。それらの結果は Chart 2 に I, II, IV および V の Rf 値は Table X に示す。

終わりに臨み本研究に際し終始御懇篤な御指導、御鞭撻を賜わった京都大学 富田真雄教授に謹謝します。多大の御便宜を与えて下さいました本学 故柿沼三郎学長に深謝します。元素分析の労をとられた本学元素分析室 鶴川昌弘氏に感謝します。

大阪薬科大学

[薬学雑誌]  
YAKUGAKU ZASSHI  
87 (1) 21~26 (1967)]

UDC 581.19 : 582.75 : 615.761.4

5. 近藤嘉和, 畠山勝男, 石黒敏弘, 竹本常松, (故)村上信三: 漢藥甘遂の成分研究  
(第8報) Euphol, Tirucallol および  $\beta$ -Euphorbol の KMnO<sub>4</sub> 酸化<sup>\*1</sup>

**Yoshikazu Kondo, Katsuo Hatayama, Toshihiro Ishiguro, Tsunematsu**

**Takemoto and (Late) Shinzo Murakami: Studies on the**

**Constituents of Chinese Drug "Kanzui." VII.**

**KMnO<sub>4</sub> Oxidation of Euphol, Tiru-**

**callol and  $\beta$ -Euphorbol.\*1**

*(Pharmaceutical Institute, Tohoku University School of Medicine<sup>\*2</sup>)*

Permanganate oxidation of euphol (I), tirucallol (XII), and  $\beta$ -euphorbol was examined. Permanganate oxidation of I in acetone afforded colorless needles (III), m.p. 224~225°, C<sub>27</sub>H<sub>44</sub>O<sub>3</sub>, while the same oxidation of  $\beta$ -euphorbol gave yellow needles (VI), m.p. 218~220°, C<sub>27</sub>H<sub>40</sub>O<sub>5</sub>, besides III. Further oxidation of III with chromic acid in glacial acetic acid afforded yellow needles (VII), m.p. 178°, C<sub>27</sub>H<sub>38</sub>O<sub>5</sub>.

\*1 第7報: 本誌, 75, 1271 (1955).

\*2 Kita-4-bancho, Sendai.